

京都大学防災研究所 正員 京大工博 土屋義人
京都大学大学院 学生員 坂井順行

1 結言

波が深海から海岸に近づくにつれて、海底地形や構造物の影響により屈折、反射、回折ある。は海底摩擦などのために複雑に変形する。これらの変形をもたらす諸現象の中で海底の摩擦は、浅海波の特性を解明する上に重要な要因であるが、海底摩擦による波高減衰の機構やその量的な評価については不明の点が多い。従来、海底摩擦による波高減衰については Putnam-Johnson (1949) のすぐれた研究がある。また Savage (1953) は実験的に摩擦および波透効果による波高減衰の研究を行なっているが、いずれも波の運動に伴う海底付近の流れの特性は明確にされていないようである。最近では、Eagleson (1959) が実験によって直接海底の Shear stress T_s を測定するとともに、層流境界層を仮定して詳細な解析を行なっている。海底摩擦の機構を根本的に解明するためには、波の運動に伴う海底附近の流れの特性を明らかにする必要がある。すなわち、波の運動によつて海底に沿達する境界層の解析を行なう必要がある。さしあたり、その第一歩として、海底に働く摩擦力、すなわち Shear Stress を直接測定した結果について述べる。

2 実験装置と実験方法

S. Hoogh (1996) は Navier-Stokes の方程式を線形化し、stream function を導入して、層流境界層内の流速分布を次のように求めている。

$$U = f \beta [\sin \theta - e^{-\beta y} \sin(\theta + \beta y)] \quad (1)$$

これから shear stress は、次のようにならわれる。

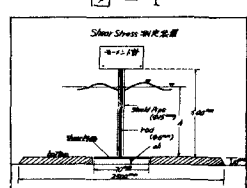
$$T_s = (U \frac{\partial U}{\partial y})_{y=0} = 4\beta \frac{f}{\delta} (\sin \theta - \cos \theta) \quad (2)$$

ここに、 U ・水平方向の速度、 y ・海底からの鉛直上方の距離、 δ ・海底に沿う水平距離、 $\theta = kx - \sigma t$ 、 $k = \frac{2\pi}{L}$ 、 $\frac{f}{\delta} = \frac{KCH}{2 \ln h k h}$ 、 $\beta = [\frac{\delta}{2V}]^{1/2}$ 、 $\sigma = \frac{2\pi}{T}$ 、 $V = \frac{U}{\rho}$ ・水の動粘性係数、 H ・波高、 L ・波長、 h ・水深、 μ ・水の粘性係数、 C ・波速。

Shear stress は(2)式で表わされるが、この右の最大値 T_{max} と直接測定した実験値とを比較検討してみる。

実験水槽は、長さ 70cm、幅 50cm、深さ 60cm で、造波機は周期 0.5~3.0 sec、最大波高 10cm の波を発生させうるフランジャー型のものである。shear stress の測定装置は、図-1 のようにモーメント計と shear plate (7cm × 20cm) および支柱とから成っている。shear plate に力が働くと、支柱を通じてモーメントとして力が作用する。このモーメントがモーメント計の中の U ゲージに作用するので、この力を歪みとして電気的に増少し、ペン書きオシロに書かせた。支柱は波力に受けないように shield pipe で被覆してある。ここに示す data' は水深 $h = 29$ cm、周期 $T = 1.1$ sec の場合のものである。

3. 実験結果及びその解析



波の場合の shear stress は、(2)式からわかるように周期的に変化するが、波による shear-stress を測定する前に、雨水路によって果してこのメートル計を用いた測定装置が正しい shear-stress を計測出来るかどうかを調べてみたその結果が図-2である。エネルギーこう配を大きくするために、下流を堰あげて水を貯め、その堰を切て流量を大きめて測定したのは似走流の場合の結果を示す。いずれにしても $\tau = \rho g H I$ (I: エネルギーこう配) の関係から求めた値と測定値とは大体よく一致している。しかし波の場合のように底力や流速が時間的に変化する場合には、shear-plate の特性によって shear-stress が変化することが予想されるので、以下それについて検討を行なった。

(1) shear-plate の鉛直方向の位置による影響：図-1からもわかるように、bottom と shear-plate とは同一平面上になければ“ならない”が、実験中の誤差も考えられるので、この影響を調べた。shear-plate の厚さが 1mm と 3mm のものについて、測定した結果が図-3である。これから shear-plate と bottom より上方に出すと plate に drag-force が働くこと、shear stress τ_0 が大きく見積られるが、逆に下げる場合にはその効果はほんの少しである。この回の縦軸の値は shear-plate と bottom と同一平面上における場合の shear-stress τ_0 で割った値である。

(2) shear-plate 直下の clearance の影響：shear-plate 直下の clearance a_h と shear stress τ_0 max との関係を調べたのが図-4である。この結果からわかることは、もしも a_h が大きければ τ_0 max が大きくなることである。このことは shear-plate 直下の隙間にあたる水の流れが、 τ_0 の測定値に大きな影響及ぼすことを意味している。

(3) shear-plate の厚さによる影響：shear-plate の厚さを 0.5, 1, 2.3mm の各種類に変え、アルミ板を使って測定値の比較をしたのが図-5である。これからわかることは、plate の厚さが大きくなれば τ_0 max の測定値は土壘増加することである。しかし、この結果は(2)でのべた clearance の影響に入っている。すなわち、shear-plate の厚さと厚さはそれなりに clearance は減少するところである。したがって plate の厚さの影響を検討するには clearance を一定にしなければならないが、これについてはさらに実験を行なって検討している。また厚さを変えることによって plate の重量が変わり、この装置の固有振動数などが変わってくるので、これらの影響については振動方程式を考えて詳しく述べる必要がある。図-5には(2)式に代入して理論値を記入しておいたが、いずれにしても理論値は実測値の 5 分の 1 程度であり、測定値が真の shear-stress をあらわすかどうかについてはさらに検討の余地がある。特には

shear-plate 直下の隙間にあたる水が圧力こう配の影響を受けて周期的に運動していることは色素を用いた観察から認められる。この隙間にあたる水の運動力を追求し、shear-plate に働く本体への外力を計算して、海底に働く shear-stress と波の特性との間の関係を窺明していくつもりである。なお、この研究においては、即接導き揚げた若垣雄一教授に感謝の意を表すとともに、文部省試験研究費による研究の一助であることを記する。

図-2

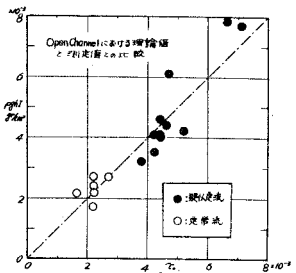


図-3

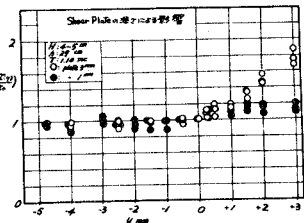


図-4

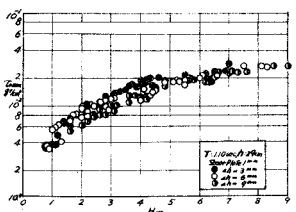


図-5

